

Численные методы для решения для задач баллистики

Введение в баллистику

Кузнецов Александр Алексеевич

Московский физико-технический институт
(Национальный исследовательский университет)
Физтех-школа аэрокосмических технологий

6 февраля 2025 г.

Overview

1. Постановка задачи
2. Кеплеровы элементы
3. Методы интегрирования

Уравнения движения

Нашей задачей является решение задачи Коши:

$$\begin{aligned}\dot{\mathbf{r}} &= \mathbf{v} \\ \dot{\mathbf{v}} &= \mathbf{a}(t, \mathbf{r}, \mathbf{v}) \\ \mathbf{r}(t_0) &= \mathbf{r}_0, \quad \mathbf{v}(t_0) = \mathbf{v}_0\end{aligned}\tag{1}$$

Здесь \mathbf{a} - вектор обобщенных ускорений, сочетающий в себе как реальные ускорения от сил, так и поправки, связанные с неинерциальностью системы отсчета и релятивистскими эффектами. Если ввести вектор состояния $\mathbf{y} = (\mathbf{r}, \mathbf{v})$ и вектор правой части $\mathbf{f} = (\mathbf{v}, \mathbf{a})$, то можно записать:

$$\begin{aligned}\dot{\mathbf{y}} &= \mathbf{f}(t, \mathbf{y}) \\ \mathbf{y}(t_0) &= \mathbf{y}_0\end{aligned}$$

Кеплеровы элементы орбиты

Зачастую вместо радиус-вектора и скорости используют элементы орбиты. Самыми распространенными являются Кеплеровы элементы.

Кеплеровы элементы состоят из 6 значений:

- наклонение i
- долгота восходящего узла Ω
- аргумент перигея ω
- эксцентриситет e
- большая полуось a
- истинная аномалия ν

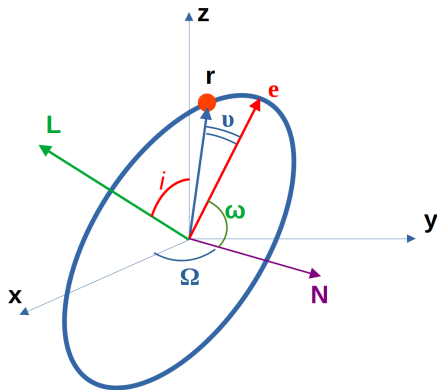


Рис.: Кеплеровы элементы орбиты

Кеплеровы элементы орбиты

Далее изложим алгоритм получения кеплеровых элементов из радиус-вектора и скорости. Определим вектор орбитального момента:

$$\mathbf{L} = \mathbf{r} \times \mathbf{v}$$

Наклонением орбиты назовем угол между вектором орбитального момента и осью z . Ввиду машинной арифметики наклонение лучше вычислять по формуле:

$$\cos L = L_z / |\mathbf{L}|$$

$$\sin L = \sqrt{L_x^2 + L_y^2} / |\mathbf{L}|$$

$$i = \text{atan2}(\sin L, \cos L)$$

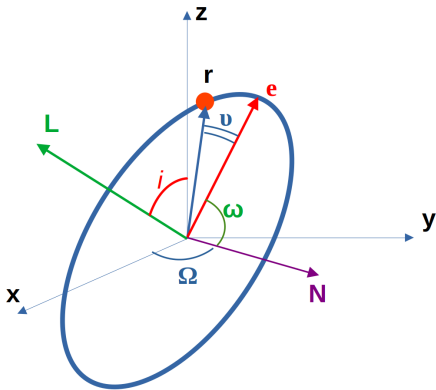


Рис.: Кеплеровы элементы орбиты

Кеплеровы элементы орбиты

Направлением на восходящий узел \mathbf{N} назовем единичный вектор, лежащий в пересечении плоскости орбиты и плоскости Oxy , причем тройка $\mathbf{L}, \mathbf{N}, \mathbf{z}$ - правая. Если орбита лежит в плоскости Oxy , то направление на восходящий узел совпадает с вектором \mathbf{x} :

$$\mathbf{N} = \begin{cases} \mathbf{z} \times \mathbf{L} / |\mathbf{z} \times \mathbf{L}|, & \mathbf{z} \nparallel \mathbf{L} \\ \mathbf{x}, & \mathbf{z} \parallel \mathbf{L} \end{cases}$$

Долготу восходящего узла определим как угол между осью \mathbf{x} и вектором \mathbf{N} :

$$\Omega = \text{atan2}(N_y, N_x)$$

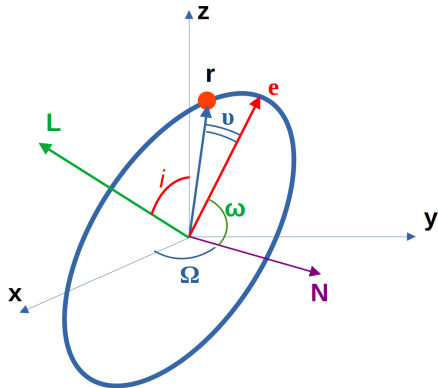


Рис.: Кеплеровы элементы орбиты

Кеплеровы элементы орбиты

Векторный эксцентриситет определим равенством:

$$\mathbf{e} = \frac{((\mathbf{v} \cdot \mathbf{v}) - \frac{\mu}{|\mathbf{r}|})\mathbf{r} - (\mathbf{r} \cdot \mathbf{v})\mathbf{v}}{\mu}$$

Его модуль является эксцентриситетом орбиты, а направление указывает на перицентр. Чтобы исключить вырождение введем вектор \mathbf{e}_1 :

$$\mathbf{e}_1 = \begin{cases} \mathbf{e}/|\mathbf{e}|, & \mathbf{e} \neq 0 \\ \mathbf{N}, & \mathbf{e} = 0 \end{cases}$$

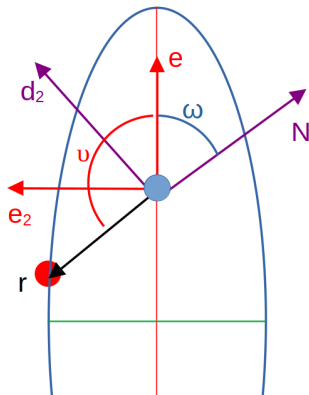


Рис.: Кеплеровы элементы орбиты

Кеплеровы элементы орбиты

Далее введем базис в плоскости орбиты:

$$\mathbf{d}_1 = \mathbf{N}, \quad \mathbf{d}_2 = \frac{\mathbf{L}}{|\mathbf{L}|} \times \mathbf{N}$$

Аргументом перицентра назовем угол между векторами \mathbf{N} и \mathbf{e}_1 :

$$\cos \omega = \mathbf{d}_1 \cdot \mathbf{e}_1$$

$$\sin \omega = \mathbf{d}_2 \cdot \mathbf{e}_1$$

$$\omega = \text{atan2}(\sin \omega, \cos \omega)$$

Полуось орбиты вычисляется из формулы:

$$\frac{\mathbf{v} \cdot \mathbf{v}}{2} - \frac{\mu}{|\mathbf{r}|} = -\frac{\mu}{2a}$$

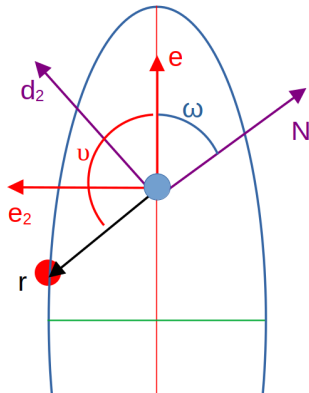


Рис.: Кеплеровы элементы орбиты

Кеплеровы элементы орбиты

Истинная аномалия - угол между вектором \mathbf{e}_1 и радиус-вектором тела. Для ее поиска введем еще один базис $\mathbf{e}_1, \mathbf{e}_2$ в плоскости:

$$\mathbf{e}_2 = \frac{\mathbf{L}}{|\mathbf{L}|} \times \mathbf{e}_1$$

Формулы для ее вычисления следующие:

$$\cos_\nu = \mathbf{e}_1 \cdot \mathbf{r}$$

$$\sin_\nu = \mathbf{e}_2 \cdot \mathbf{r}$$

$$\nu = \text{atan2}(\sin_\nu, \cos_\nu)$$

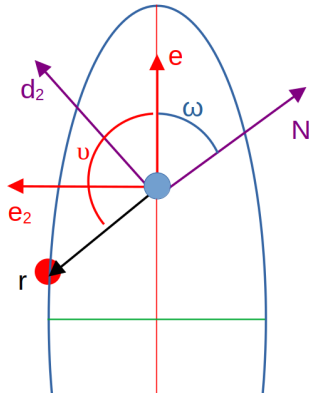


Рис.: Кеплеровы элементы орбиты

Кеплеровы элементы орбиты

Введем векторы полуосей и эксцентрическую аномалию (рисунок):

$$\mathbf{a} = a \mathbf{e}_1,$$

$$\mathbf{b} = a\sqrt{1 - e^2} \mathbf{e}_2$$

Формулы для связи истинной и эксцентрической аномалии:

$$\sin(E) = \frac{\sin(\nu)\sqrt{1 - e^2}}{1 + e \cos(\nu)}$$

$$\cos(E) = \frac{e + \cos(\nu)}{1 + e \cos(\nu)}$$

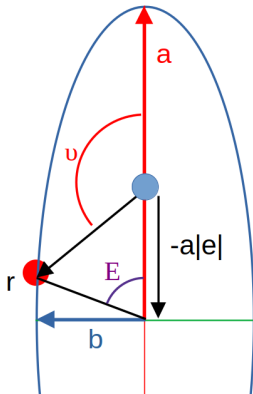


Рис.: Кеплеровы элементы орбиты

Кеплеровы элементы орбиты

Формулы для связи истинной и эксцентрической аномалии:

$$\sin(\nu) = \frac{\sin(E)\sqrt{1-e^2}}{1-e\cos(E)}$$

$$\cos(\nu) = \frac{\cos(E) - e}{1-e\cos(E)}$$

Иногда удобным является представление:

$$\mathbf{r} = \mathbf{a} \cos(E) + \mathbf{b} \sin(E) - \mathbf{ae}$$

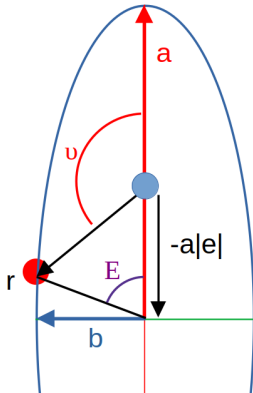


Рис.: Кеплеровы элементы орбиты

Кеплеровы элементы орбиты

Для аналитического решения задачи движения в точечном потенциале полезна средняя аномалия:

$$M = E - e \sin(E)$$

Средняя аномалия при движении в точечном потенциале изменяется линейно:

$$\dot{M} = \sqrt{\frac{\mu}{a^3}}$$

Переход между от средней аномалии к эксцентрической осуществляется при помощи решения нелинейного уравнения методом Ньютона:

$$E - e \sin(E) - M = 0$$

$$E_{i+1} = E_i - \frac{E_i - e \sin(E_i) - M}{1 - e \cos(E_i)}$$

Для начального приближения следует выбирать $E_0 = M - e$, если $M > \pi$, иначе $E_0 = M + e$

Кеплеровы элементы орбиты

Введем **фокальный параметр** p :

$$p = a(1 - e^2)$$

и **аргумент истинной широты** u :

$$u = \omega + \nu$$

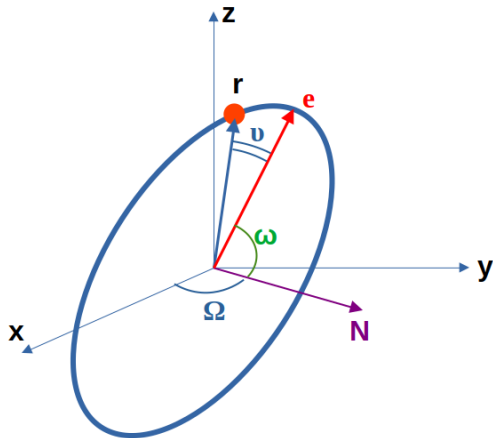


Рис.: Аргумент истинной широты

Кеплеровы элементы орбиты

Теперь займемся обратным переходом. В системе $\mathbf{e}_1, \mathbf{e}_2, \mathbf{L}/|\mathbf{L}|$ радиус-вектор \mathbf{r} имеет координаты:

$$\mathbf{r}_{per} = r (\cos\nu, \sin\nu, 0)^T = \frac{p}{1 + e \cos\nu} (\cos\nu, \sin\nu, 0)^T$$

Скорость в этой системе имеет вид:

$$\mathbf{v}_{per} = (\dot{r} \cos\nu - r\dot{\nu} \sin\nu, \dot{r} \sin\nu + r\dot{\nu} \cos\nu, 0)^T$$

$$r\dot{\nu} = \sqrt{\frac{p}{\mu}} (1 + e \cos\nu), \quad \dot{r} = \sqrt{\frac{p}{\mu}} e \sin\nu$$

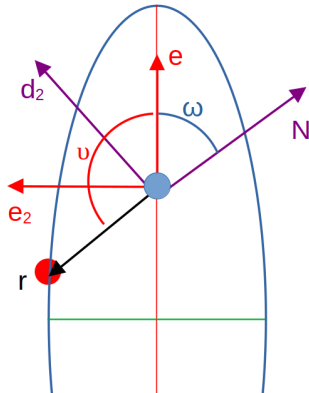


Рис.: Кеплеровы элементы орбиты

Кеплеровы элементы орбиты

Если подставить в формулу для скорости, то получим:

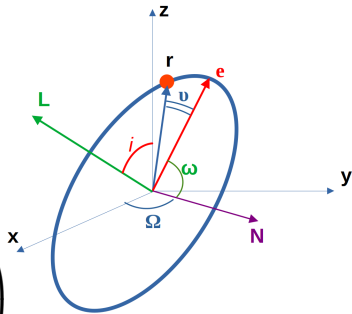
$$\mathbf{v}_{per} = \sqrt{\frac{p}{\mu}} (-\sin\nu, e + \cos\nu, 0)^T$$

Теперь переведем положение и скорость в исходную систему:

$$Q = R_3(-\Omega) R_1(-i) R_3(-\omega)$$

$$R_3(\phi) = \begin{pmatrix} \cos\phi & \sin\phi & 0 \\ -\sin\phi & \cos\phi & 0 \\ 0 & 0 & 1 \end{pmatrix}, \quad R_1(\phi) = \begin{pmatrix} 1 & 0 & 0 \\ 0 & \cos\phi & \sin\phi \\ 0 & -\sin\phi & \cos\phi \end{pmatrix}$$

$$\mathbf{r} = Q\mathbf{r}_{per}, \quad \mathbf{v} = Q\mathbf{v}_{per}$$



Кеплеровы элементы орбиты

Введем орбитальную системы координат:

$$\mathbf{e}_r = \mathbf{r}/|\mathbf{r}|$$

$$\mathbf{e}_n = \mathbf{r} \times \mathbf{v}/|\mathbf{r} \times \mathbf{v}|$$

$$\mathbf{e}_t = \mathbf{e}_n \times \mathbf{e}_r$$

Пусть \mathbf{a}_{pet} - возмущающие ускорения:

$$\mathbf{a}_{pet} = \mathbf{a} + \frac{\mu}{r^3} \mathbf{r}$$

Обозначим компоненты возмущающего ускорения в орбитальной системе следующим образом:

$$f_r = \mathbf{a}_{pet} \cdot \mathbf{e}_r, \quad f_t = \mathbf{a}_{pet} \cdot \mathbf{e}_t, \quad f_n = \mathbf{a}_{pet} \cdot \mathbf{e}_n$$

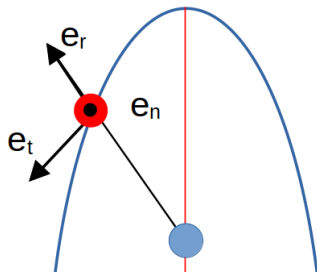


Рис.: Орбитальная система

Кеплеровы элементы орбиты

Уравнения движения в кеплеровых элементах выглядят следующим образом:

$$\dot{a} = \frac{2a^2}{\sqrt{\mu p}} \left(e \sin(\nu) f_r + \frac{p}{r} f_t \right)$$

$$\dot{e} = \frac{1}{\sqrt{\mu p}} (p \sin(\nu) f_r + [(p + r) \cos(\nu) + er] f_t)$$

$$\dot{i} = \frac{r \cos(u)}{\sqrt{\mu p}} f_n$$

$$\dot{\Omega} = \frac{r \sin(u)}{\sqrt{\mu p} \sin(i)} f_n$$

$$\dot{\omega} = \frac{1}{e \sqrt{\mu p}} [-p \cos(\nu) f_r + (p + r) \sin(\nu) f_t] - \frac{r \cos(i) \sin(u)}{\sqrt{\mu p} \sin(i)} f_n$$

$$\dot{\nu} = \frac{\sqrt{\mu p}}{r^2} + \frac{1}{e \sqrt{\mu p}} [p \cos(\nu) f_r - (p + r) \sin(\nu) f_t]$$

Кеплеровы элементы орбиты

Задание. Вывести уравнение для \dot{M}

Задание. Вывести конвертацию из кеплеровых параметров в (\mathbf{r}, \mathbf{v})

Замечания по кеплеровым элементам:

- Кеплеровы элементы имеют вырождения: $i = 0, i = \pi, e = 0$
- Кеплеровы элементы не подходят для интегрирования из-за вырождений
- Интегрирование в элементах получается точнее, так как больший вклад притяжения Земли учитывается аналитически

Равноденственные элементы

Чтобы избавиться от вырождения вводится другой набор элементов - модифицированные равноденственные элементы.

Для нормальных орбит $i \leq \pi/2$:

$$p = a(1 - e^2)$$

$$f = e \cos(\Omega + \omega)$$

$$g = e \sin(\Omega + \omega)$$

$$h = \operatorname{tg}(i/2) \cos(\Omega)$$

$$k = \operatorname{tg}(i/2) \sin(\Omega)$$

$$L = \Omega + \omega + \nu$$

Для ретроградных орбит $i > \pi/2$:

$$p = a(1 - e^2)$$

$$f = e \cos(-\Omega + \omega)$$

$$g = e \sin(-\Omega + \omega)$$

$$h = \operatorname{ctg}(i/2) \cos(\Omega)$$

$$k = \operatorname{ctg}(i/2) \sin(\Omega)$$

$$L = -\Omega + \omega + \nu$$

Равноденственные элементы

Для нормальных орбит уравнения выглядят следующим образом:

$$w = 1 + f \cos(L) + g \sin(L), \quad s^2 = 1 + h^2 + k^2$$

$$\dot{f} = \sqrt{\frac{p}{\mu}} \left[f_r \sin(L) + \{f + [w + 1] \cos(L)\} \frac{f_t}{w} - (h \sin(L) - k \cos(L)) \frac{g f_n}{w} \right]$$

$$\dot{g} = \sqrt{\frac{p}{\mu}} \left[-f_r \cos(L) + \{g + [w + 1] \sin(L)\} \frac{f_t}{w} + (h \sin(L) - k \cos(L)) \frac{f f_n}{w} \right]$$

$$\dot{h} = -\sqrt{\frac{p}{\mu}} \frac{s^2 f_n}{2w} \cos(L), \quad \dot{k} = \sqrt{\frac{p}{\mu}} \frac{s^2 f_n}{2w} \sin(L), \quad \dot{p} = \frac{2p}{w} \sqrt{\frac{p}{\mu}} f_t$$

$$\dot{L} = \sqrt{\mu p} (w/p)^2 - \sqrt{\frac{p}{\mu}} \frac{f_n}{w} \{h \sin(L) - k \cos(L)\}$$

Задание. Вывести уравнение движения для ретроградных орбит.

Идеальные элементы

Рассмотрим систему уравнений, описывающую орбитальное движение аппарата:

$$\dot{\mathbf{r}} = \mathbf{v},$$

$$\dot{\mathbf{v}} = -\left(\frac{\mu}{r^3}\right)\mathbf{r} + \mathbf{f}$$

Орбитальная система координат:

$$\mathbf{e}_r = \mathbf{r}/|\mathbf{r}|$$

$$\mathbf{e}_n = \mathbf{r} \times \mathbf{v}/|\mathbf{r} \times \mathbf{v}|$$

$$\mathbf{e}_t = \mathbf{e}_n \times \mathbf{e}_r$$

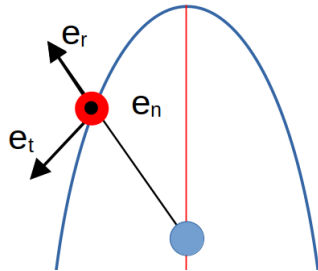


Рис.: Орбитальная система

Идеальные элементы

Дифференцируя выражения для базисных векторов можно получить следующее

$$\dot{\mathbf{e}}_n = -\frac{r}{L}f_n\mathbf{e}_t,$$

$$\dot{\mathbf{e}}_r = \frac{L}{r^2}\mathbf{e}_t,$$

$$\dot{\mathbf{e}}_t = -\frac{L}{r^2}\mathbf{e}_t + \frac{r}{L}f_n\mathbf{e}_n.$$

$$\omega_K = \frac{L}{r^2}\mathbf{e}_n, \quad \omega_I = \frac{r}{L}f_n\mathbf{e}_r, \quad \omega = \omega_K + \omega_I$$

С другой стороны эволюцию можно представить как вращение

$$\dot{\mathbf{e}}_n = \boldsymbol{\omega} \times \mathbf{e}_n,$$

$$\dot{\mathbf{e}}_r = \boldsymbol{\omega} \times \mathbf{e}_r,$$

$$\dot{\mathbf{e}}_t = \boldsymbol{\omega} \times \mathbf{e}_t.$$

$$\boldsymbol{\omega} = \frac{L}{r^2}\mathbf{e}_n + \frac{r}{L}f_n\mathbf{e}_r$$

- Система, эволюция которой относительно неподвижной описывается вращением с угловой скоростью $\omega_I = r/Lf_n \mathbf{e}_r$, называется **идеальной системой**. Обозначение $(\mathbf{x}_I, \mathbf{y}_I, \mathbf{z}_I)$.
- Название происходит из того, что в ней движение орбитальной системы описывается угловой скоростью $\omega_K = L/r^2 \mathbf{e}_n$, которая не зависит от возмущений.

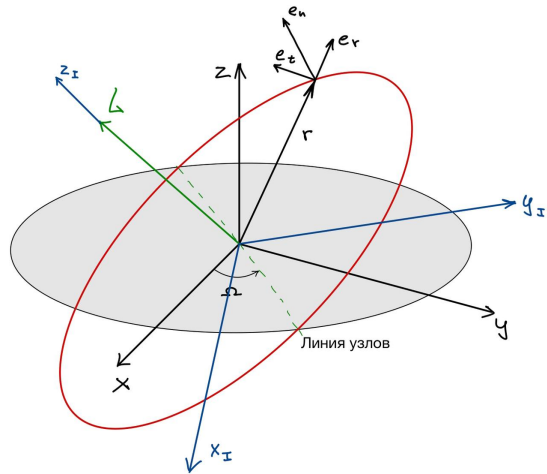


Рис.: Идеальная система обозначена синим

Идеальные элементы

Определим следующие величины:

$$\cos \sigma = \mathbf{x}_l \cdot \mathbf{a}$$

здесь a - нормированный вектор Лапласа

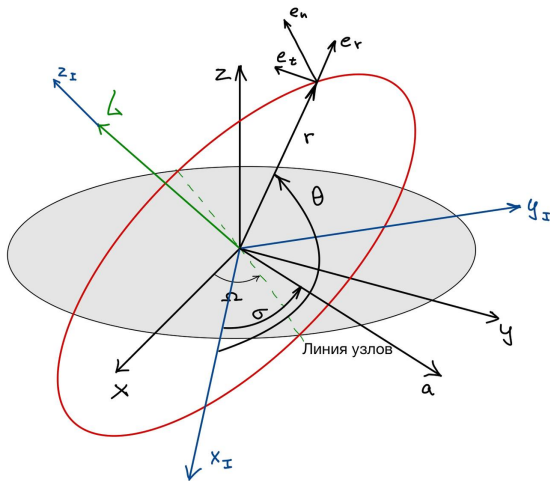
$$C = \frac{\mu e}{L} \cos \sigma$$

$$S = \frac{\mu e}{L} \sin \sigma$$

$$\cos \theta = \mathbf{e}_r \cdot \mathbf{x}_l$$

$$Q = (\lambda_0, \lambda_1, \lambda_2, \lambda_3) -$$

кватернион перехода из неподвижной системы в идеальную



Идеальные элементы. Уравнения движения

$$2\dot{\lambda}_1 = f_n(\lambda_0 u - \lambda_3 v)$$

$$2\dot{\lambda}_2 = f_n(\lambda_0 v + \lambda_3 u)$$

$$2\dot{\lambda}_3 = f_n(\lambda_0 v - \lambda_2 u)$$

$$2\dot{\lambda}_0 = f_n(-\lambda_1 u - \lambda_2 v)$$

$$u = r/L \cos \theta \quad v = r/L \sin \theta$$

$$r = \frac{L}{\mu/L + C \cos \theta + S \sin \theta}$$

$$\dot{\theta} = \frac{L}{r^2}$$

$$\dot{C} = f_r \sin \theta + f_t \left(1 + \frac{r}{p}\right) \cos \theta$$

$$\dot{S} = -f_r \cos \theta + f_t \left(1 + \frac{r}{p}\right) \sin \theta$$

$$\dot{L} = r f_t$$

$$p = \frac{L^2}{\mu}$$

Идеальные элементы. Замечания

- По сути σ, θ - это аналоги аргумента перицентра и аргумента широты соответственно для соприкасающегося эллипса в идеальной системе, а C, S есть масштабированные координаты вектора эксцентриситета. Таким образом, однозначно задается положение объекта в идеальной системе.
- Начальное положение идеальной системы относительно неподвижной не фиксировано, так как её движение задается кинематическим соотношением. Можно выбирать любую начальную ориентацию.
- При более детальном рассмотрении оказывается, что можно модифицировать переменные таким образом, что независимых уравнения остается всего 7. Подробнее в "Note on the ideal frame formulation" (Lara, 2017)

Методы интегрирования

Вернемся к рассмотрению задачи Коши:

$$\dot{\mathbf{y}} = \mathbf{f}(t, \mathbf{y})$$

$$\mathbf{y}(t_0) = \mathbf{y}_0$$

Существует 2 классификации численных методов. По расположению используемых значений функции и правой части:

- Одношаговые методы
 1. Используют значения функции и правой части только внутри одного шага
 2. Легко изменяют шаг
- Многошаговые методы
 1. Используют значения функции и правой части с предыдущих шагов
 2. Тяжело менять шаг
 3. Требуется разгон метода вначале интегрирования

Методы интегрирования

По необходимости решения решения нелинейных уравнений

- Явные методы. Решение нелинейных уравнений не требуется
- Неявные методы. Требуется решение нелинейных уравнений

Наиболее часто используемые методы:

1. Метод Рунге-Кутты 4 порядка
2. Методы Дорманда-Принца 4(5) и 7(8)
3. Методы Эверхарта
4. Метод Гаусса-Джексона

Методы Рунге-Кутты

Методы Рунге-Кутты являются одношаговыми методами. Интегрирование на одном шаге h осуществляется по следующей схеме:

$$\mathbf{k}_i = \mathbf{f} \left(t + c_i h, y_j + h \sum_{n=1}^s a_{in} \mathbf{k}_n \right), \quad i = \overline{1, s}$$

$$\mathbf{y}_{j+1} = \mathbf{y}_j + h \sum_{n=1}^s b_n \mathbf{k}_n$$

В общем случае методы Рунге-Кутты требуют решения нелинейной системы уравнений

Коэффициенты довольно удобно задавать при помощи таблицы Бутчера:

c_1	a_{11}	\dots	a_{1s}
c_2	a_{21}	\dots	a_{2s}
c_s	a_{s1}	\dots	a_{ss}
	b_1	\dots	b_s

Если верхнетридиагональная часть матрицы нулевая, то метод является явным и не требует решения нелинейных уравнений.

Методы Рунге-Кутты

Преимущество явных методов становится несущественным из-за барьеров Бутчера. С увеличением порядка аппроксимации p стремительно растет количество вычислений функции правой части s :

p	1	2	3	4	5	6	7	8
s_{min}	1	2	3	4	6	7	9	11

Первый барьер Бутчера $p = 4$, второй барьер Бутчера $p = 7$, третий барьер Бутчера $p = 8$

При использовании неявных методов количество вычислений правой части не равно s (нелинейная система). Однако порядок неявных методов может быть существенно выше s , а именно $2s$ или $2s - 1$ (более удобно на практике)

p	3	5	7	9	11
s	2	3	4	5	6
$eval.$	2-3	4-6	6-9	8-12	10-15

$eval.$ - количество вычислений правой части за шаг

Методы Рунге-Кутты

Как выбирать шаг интегрирования?

Универсальный метод - **правило Рунге**.

Пусть интегрирование ведется с порядком p , y^h - результат интегрирования с шагом h , а $y^{h/2}$ - результат шагом $h/2$

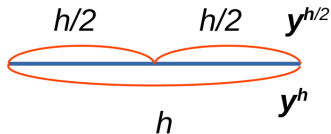


Рис.: Правило Рунге

Тогда ошибка интегрирования:

$$e = \frac{y^{h/2} - y^h}{2^p - 1}$$

Если задана точность интегрирования tol , то шаг можно выбирать по формуле

$$h_{new} = h \sqrt[p]{\frac{tol}{\|e\|}}$$

При этом можно воспользоваться **экстраполяцией Ричардсона** для увеличения порядка метода на 1:

$$y^{h/2} + \frac{y^{h/2} - y^h}{2^p - 1}$$

Классический метод Рунге-Кутты

Классический метод Рунге-Кутты имеет порядок аппроксимации $p = 4$ и стадийность $s = 4$. Таблица Бутчера метода:

0	0	0	0	0
1/2	1/2	0	0	0
1/2	0	1/2	0	0
1	0	0	1	0
	1/6	2/6	2/6	1/6

Расчетные формулы:

$$k_1 = f(t_i, y_i)$$

$$k_2 = f(t_i + h/2, y_i + h k_1/2)$$

$$k_3 = f(t_i + h/2, y_i + h k_2/2)$$

$$k_4 = f(t_i + h, y_i + h k_3)$$

$$y_{i+1} = y_i + (k_1 + 2(k_2 + k_3) + k_4)/6$$

При использовании правила Рунге и экстраполяции Ричардсона порядок увеличивается до $p = 5$, а количество вычислений правой части до 12

Вложенные методы

Вложенные методы имеют еще одну строку в таблице Бутчера:

0	0	...	0
c_2	a_{21}	...	0
c_s	a_{s1}	...	0
	b_1	...	b_s
	b_1^*	...	b_s^*

Подсчет векторов \mathbf{k} аналогичен обычным методам Рунге-Кутты:

$$\mathbf{k}_i = \mathbf{f} \left(t + c_i h, y_j + h \sum_{n=1}^s a_{in} \mathbf{k}_n \right), \quad i = \overline{1, s}$$

После вычисления коэффициентов \mathbf{k} вычисляется ошибка:

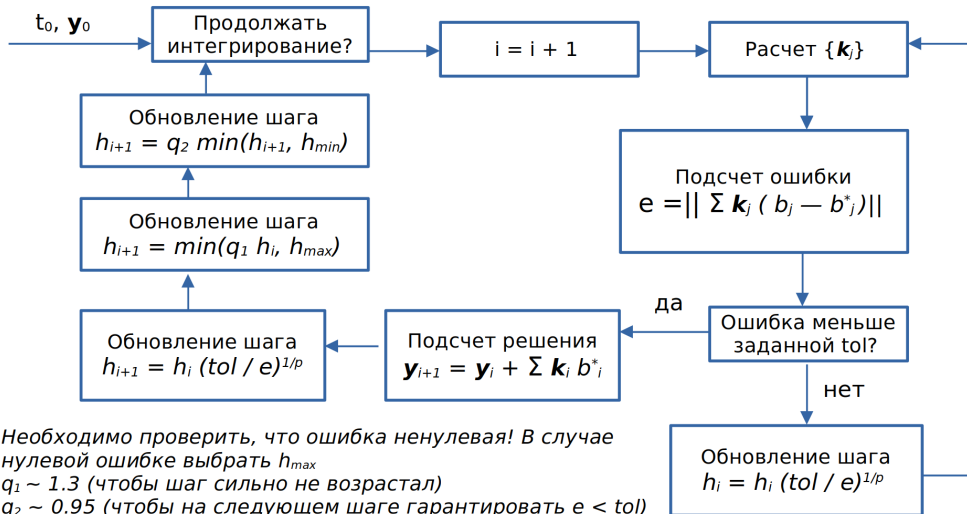
$$\mathbf{e} = \sum_{n=1}^s (b_n - b_n^*) \mathbf{k}_n$$

Если норма ошибки $\|\mathbf{e}\|$ меньше заданной, то оценивается длина следующего шага и решение на этом шаге:

$$\mathbf{y}_{i+1} = \mathbf{y}_i + h \sum_{n=1}^s b_n^* \mathbf{k}_n, \quad h_{new} = h \sqrt[p]{tol / \|\mathbf{e}\|}$$

Иначе изменяется шаг и итерация повторяется вновь

Вложенные методы



Вложенные методы

Замечания:

- Метод Дорманда-Принца 5 порядка точности имеет стадийность 7, а метод Рунге-Кутты с экстраполяцией Ричардсона 12.
- Оценка ошибки строго не гарантирует, что на каждом шаге ошибка будет меньше заданной tol . Однако подбор шага гарантирует, что на каждом шаге ошибка будет одинаковой - важно для эллиптических орбит.